
Videre

Hacer hervir el agua en el valle de Valdivia:
Formas de vasijas y el brillo de las nubes en
período formativo temprano en la costa de
Ecuador



Maxwell Stolkin

Universidad San Francisco de Quito, Ecuador

mstolkin@usfq.edu.ec

post(s)

vol. 3, p. 148 - 162, 2017

Universidad San Francisco de Quito, Ecuador

ISSN: 1390-9797

ISSN-E: 2631-2670

Periodicidad: Anual

posts@usfq.edu.ec

Recepción: 30 Abril 2017

Aprobación: 25 Mayo 2017

DOI: <https://doi.org/10.18272/posts.v3i1.1003>

URL: <http://portal.amelica.org/ameli/journal/271/2715026009/>

**Hacer hervir el agua en el valle de Valdivia: Formas de
vasijas y el brillo de las nubes en período formativo
temprano en la costa de Ecuador**

ON BRINGING WATER TO BOIL IN

VALDIVIA:

X-651-71-191
PREPRINT



Vessel Shapes and
Cloud Brightness in the
Early Formative Period
of Coastal Ecuador.

MAXWELL STOLKIN

FACILITY FORM 602

N71-27648 (ACCESSION NUMBER)	(THRU)
108 (PAGES)	G-3 (CODE)
TMK-65558 (NASA CR OR TMX OR AD NUMBER)	B (CATEGORY)

Hace 5000 años, un poco de agua se hirvió en una vasija de barro en el valle de Valdivia. El vapor que se evaporó, ocupó un pequeño rol en la condensación de la humedad de una nube que se formó por encima. La precipitación de esta nube cayó luego sobre un depósito de arcilla.

Desde hace poco tiempo, está disponible la información satelital de larga data que permite mirar variaciones de nubosidad y el brillo de las nubes sobre el océano Pacífico tropical.

Estos nuevos conjuntos de datos tienen grandes implicaciones para los arqueólogos dedicados al estudio de los antiguos complejos cerámicos que se desarrollaron directamente bajo estos patrones climáticos hace 5000 años. Al mismo tiempo, los meteorólogos también pueden hacer uso de las investigaciones de los arqueólogos que han trazado la evolución de las tradiciones cerámicas facilitadas por la precipitación de las nubes que estudian.

La arqueología, a diferencia de otras disciplinas científicas, no tiene un sistema único universalmente reconocido de clasificación y nomenclatura. Cada investigador puede inventar su propio marco de referencia. Se han publicado varios comentarios sobre la teoría de la clasificación de cerámica, y los autores difieren mucho en los procedimientos por los cuales los tipos cerámicos deben ser descritos.

Y la arcilla en sí es un material cambiante. El contenido de humedad le da plasticidad; con el tiempo, la lluvia que penetra en los depósitos de arcilla funciona en las estructuras de sus plaquetas moleculares. Esta película de humedad permite que la arcilla se doble y se estire sin agrietamiento. Esta calidad de plasticidad permite a quien moldea las vasijas doblar las paredes de arcilla de formas particulares.

A medida que esa persona moldea las paredes de la vasija, la humedad dentro de la arcilla se evapora y la arcilla se vuelve más firme, pierde su plasticidad, pero ahora es capaz de soportar el peso de otras capas en sus paredes. El constructor de las vasijas maneja las extensiones horizontales y verticales de la forma a través del espacio, equilibrando el contenido y la evaporación de la humedad en la arcilla, por tanto, los contornos de la vasija están íntimamente relacionados con el clima.

Los arqueólogos estudian los contornos, las características superficiales y las formas de estas vasijas antiguas para comprender mejor cómo se desarrollaron estas tradiciones de cerámica.

Los nuevos datos sobre las características precisas y los patrones de nubosidad tropical bajo los cuales se hicieron estos trabajos en arcilla son, por lo tanto, motivo de gran entusiasmo para los investigadores que participan en estos tipos de análisis.

Los estudios de tiempo-longitud del brillo de las nubes sobre el océano Pacífico tropical pueden dar una nueva luz sobre la evolución

y la distribución temporal de los distintos tipos de cerámica de Valdivia.

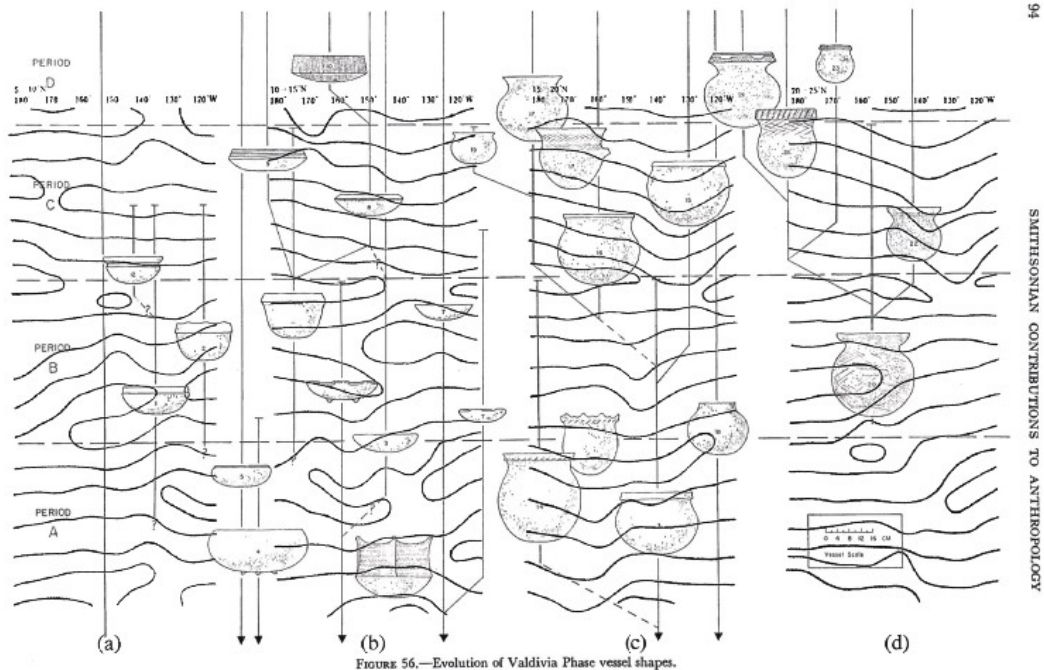
Durante mucho tiempo hemos utilizado métodos en los que las curvaturas contenidas en un solo fragmento de cerámica pueden construir una imagen completa sobre la forma de la vasija de la cual ese fragmento fue parte.

Ahora podemos extrapolar mucho más allá de la simple clasificación y ordenación de los contornos de las vasijas.

Ahora podemos también incorporar estos nuevos conjuntos de datos meteorológicos en nuestros esfuerzos para trazar desde la curvatura de un fragmento de cerámica Valdivia hasta la representación precisa de una sola nube –su altura, brillo, contenido de humedad, velocidad o dirección de viaje–, tal como pudo haber ocurrido sobre un asentamiento Valdivia hace 5000 años.

El siguiente esquema es una sugerencia inicial de cómo los miembros de la comunidad arqueológica podrían incorporar estos datos en su análisis de los complejos cerámicos del Período Formativo Temprano del Ecuador Costero.

Al mismo tiempo, los meteorólogos también pueden incorporar los conjuntos de datos arqueológicos en sus estudios de sistemas meteorológicos tropicales. Si desean obtener una perspectiva histórica de los sistemas meteorológicos que miden, ciertamente harán uso de las clasificaciones de los contornos de las vasijas como registros antiguos de los mismos datos que ahora recogen con las mediciones satelitales.



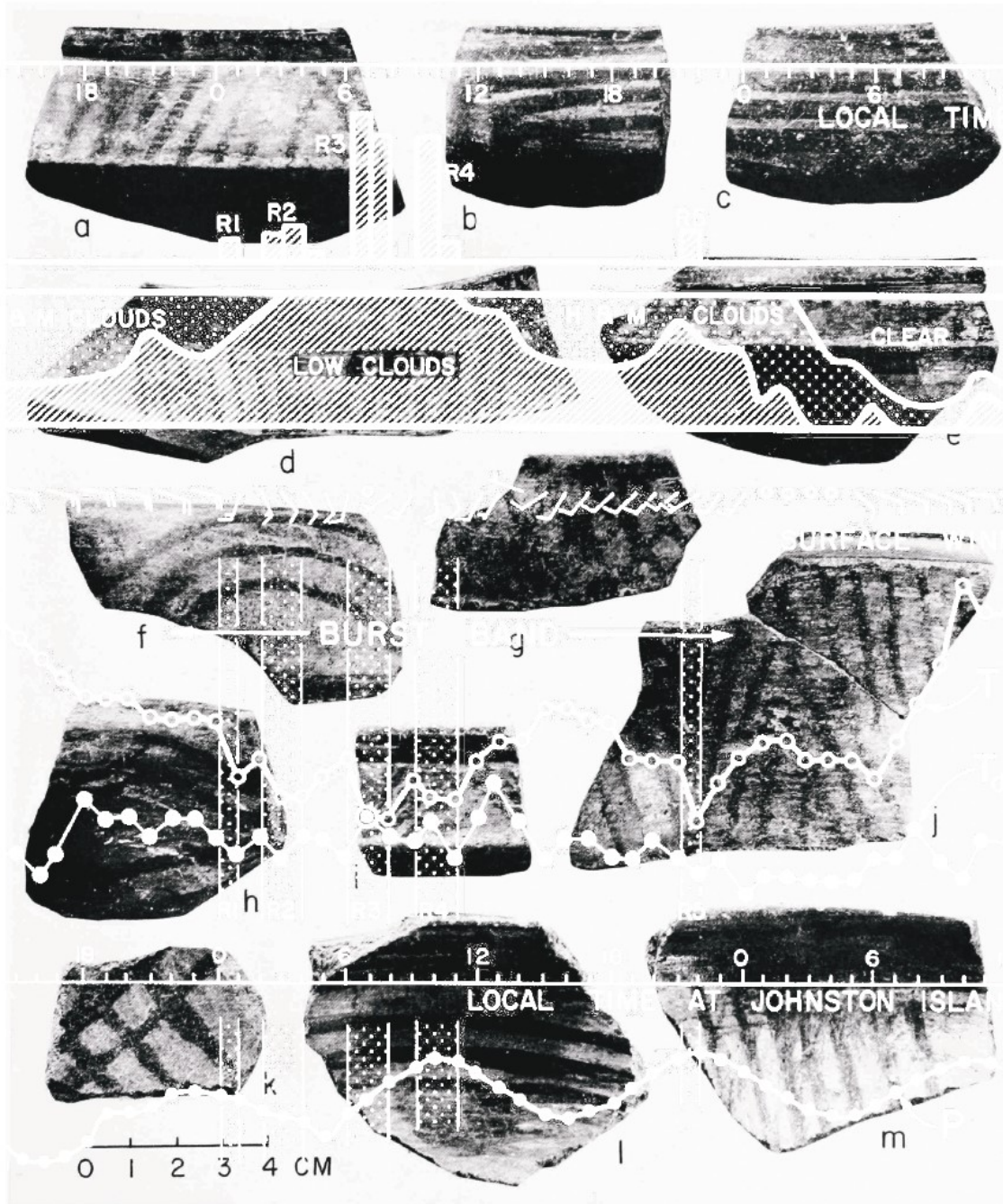
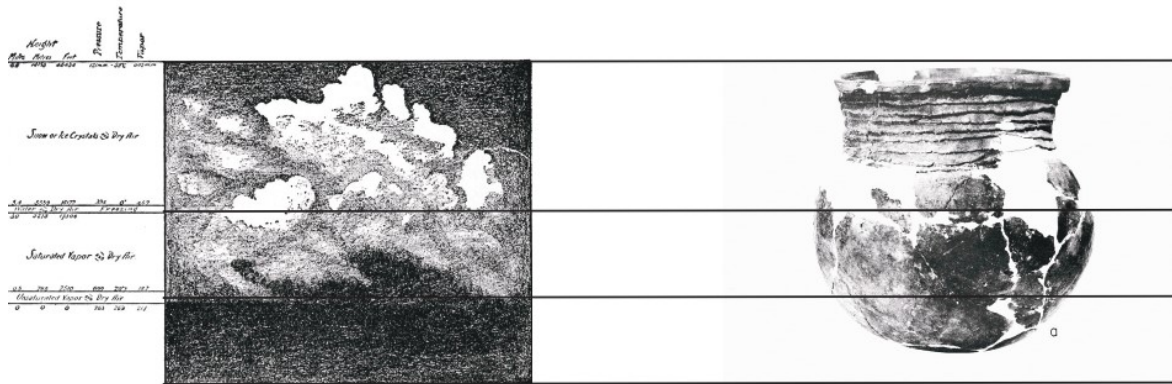


PLATE 149

Type sherds of Machalilla Red Banded, narrow variety. *a-j*, Bowl exteriors. *k-m*, Bowl interiors.



The longitude-time representation

reveals a close relationship between the cyclones and the monsoon circulation

embellishment in both areas are associated principally with

undulating and lobed rim

Levels inscribed position based upon pottery types

Site

Chert

Level (em.)

Periods

Abraders

Blades

Choppers

Gravers

Grinding Stones

Hammerstones

"Jaketown Perforators"

Paint Stones

Pebble Polishers

Reamers

Saws

Scrapers

Burnt Sandstone

Fragments

Coquina

Fragments

Mudstone

broad line incised and excised

The decoration.

Hammerstones are generated within almost

the broad bands of

exclusively correlated with monsoon

undecorated

cloudiness and

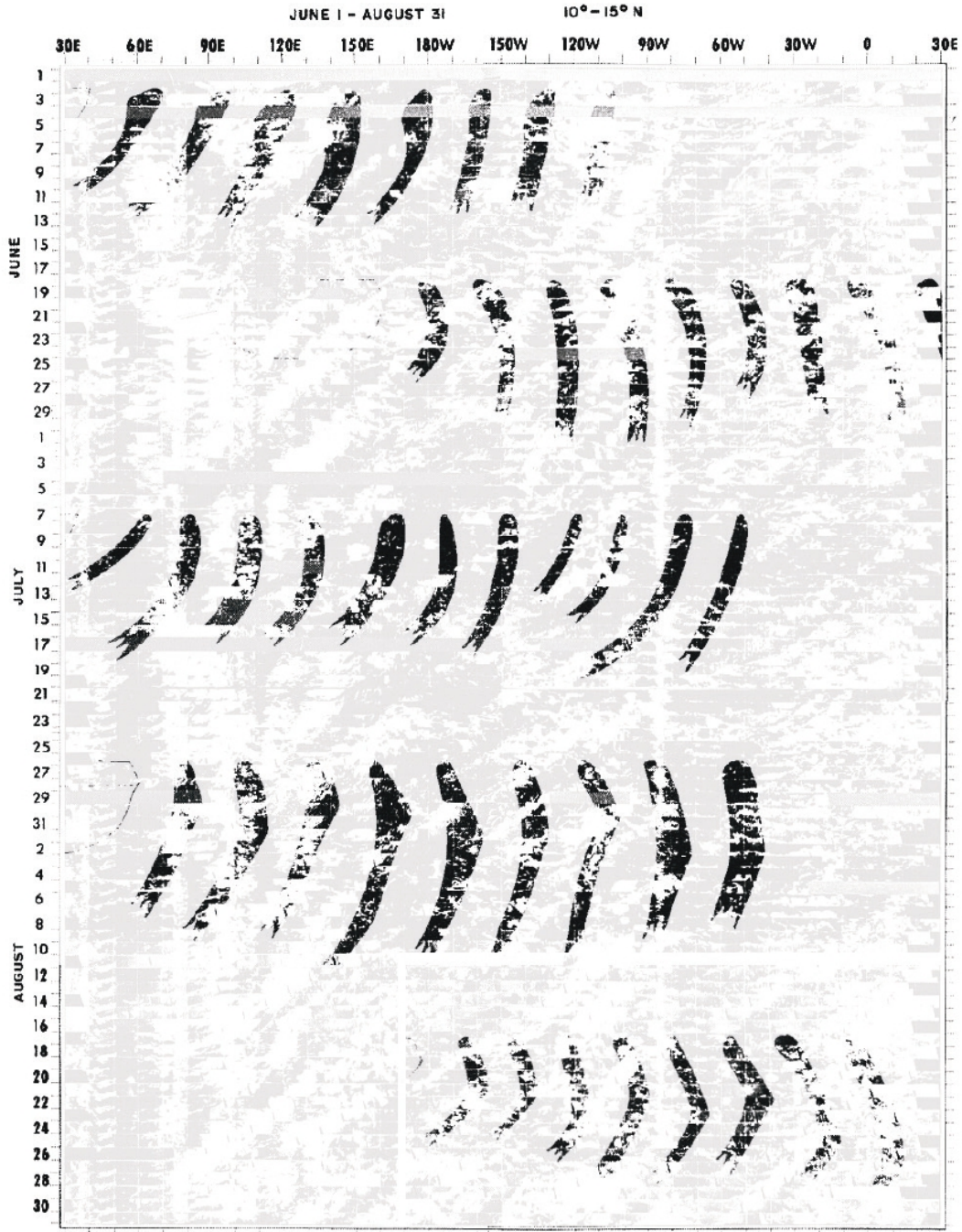
jars in valdivia

tend to remain embedded

whereas they often occur on within

SMITHSONIAN CONTRIBUTIONS TO ANTHROPOLOGY
 TABLE 17.—Stone artifacts and natural stone from Machaitilla Phase

Figure 3-i. 20° 0-300 N, 100° 0 W-180° (clouds)	Figure B-1. 20° 0-300 N, 100° 0 W-180° (clouds)
Description of artifacts 26 Stone artifacts 26	Description of artifacts 26 Stone artifacts 26
20°-300 N, 100°-180° (sea)	20°-300 N, 100°-180° (sea)
Abraders 26 Blades or knives 26 Bowls 26	Abraders 26 Blades or knives 26 Bowls 26
Figure B-2. 10° 0 -20° 0 N, 100° 0 W-180° (clouds)	Figure B-2. 10° 0 -20° 0 N, 100° 0 W-180° (clouds)
26 Choppers 26 Cores 27 Gravers 27	26 Choppers 26 Cores 27 Gravers 27
Grinding stones 27 Hammerstones 27	Grinding stones 27 Hammerstones 27
Figure B-3. 50°-15°N, 100°W-180° (clouds)	Figure B-3. 50°-15°N, 100°W-180° (clouds)
"Jaketown perforators" 28 Point stones 28	"Jaketown perforators" 28 Point stones 28
50-15° N, 90° W-180° (sea)	50-15° N, 90° W-180° (sea)
Pebble polishing stones 28 Polished axes 28	Pebble polishing stones 28 Polished axes 28
Figure B-4. 00-10° 0 N, 100°W-180° (clouds)	Figure B-4. 00-10° 0 N, 100°W-180° (clouds)
Reamers 29 Saws 29 Scrapers 33 Sinkers 33	Reamers 29 Saws 29 Scrapers 33 Sinkers 33
0°-10° N, 80° W-180° (sea)	0°-10° N, 80° W-180° (sea)
Fireburnt rocks 33 Chronological distribution 33	Fireburnt rocks 33 Chronological distribution 33
Figure B-5. 5°N-5°S, 100° W-180° (clouds)	Figure B-5. 5°N-5°S, 100° W-180° (clouds)
of stone artifact types 34	of stone artifact types 34
50N-5° 0 S, 80°W-180° (sea)	50N-5° 0 S, 80°W-180° (sea)
artifacts 37 Abraders and polishers 37	artifacts 37 Abraders and polishers 37
Figure B-6. 0°-10°S, 100°W-180° (clouds), 00-10°S, 80°W-180° (sea)	Figure B-6. 0°-10°S, 100°W-180° (clouds), 00-10°S, 80°W-180° (sea)
Chronological position of bone and teeth artifacts 42	Chronological position of bone and teeth artifacts 42
Figure B-7. 10°-20°S, 100° W-180° (clouds)	Figure B-7. 10°-20°S, 100° W-180° (clouds)
20°-25°S, 100° 0W-180° 0 (clouds)	20°-25°S, 100° 0W-180° 0 (clouds)
Pottery artifacts 42	Pottery artifacts 42
Figure B-8. 200° -30°N, 180° 0-130° 0E (clouds)	Figure B-8. 200° -30°N, 180° 0-130° 0E (clouds)
Pottery type descriptions 42	Pottery type descriptions 42
10°-200° N, 180° 0-130° 0E (clouds)	10°-200° N, 180° 0-130° 0E (clouds)
Punta Arenas Incised 43	Punta Arenas Incised 43
Figure B-9. 50° -150° N, 180° 0-130° 0E (clouds)	Figure B-9. 50° -150° N, 180° 0-130° 0E (clouds)
Puntas Arenas Plain 43	Puntas Arenas Plain 43
00° -10° 0 N, 180° 0-130° 0E (clouds)	00° -10° 0 N, 180° 0-130° 0E (clouds)
San Pablo Plain 45	San Pablo Plain 45
Figure B-10. 50°N-5° 0 S, 180° 0-130° 0E (clouds) Q-100S, 180° 0-130° 0E (clouds)	Figure B-10. 50°N-5° 0 S, 180° 0-130° 0E (clouds) Q-100S, 180° 0-130° 0E (clouds)



Generalized Form	
1: Indented Shoulder Bowl	certain combinations of (f) The major bands of techniques occur in both areas
2: Bowl with Exteriorly Thickened Rim	cloudiness depicted in the figures have a slow spread
3: Bowl with Expanded Rim	among the shell scraping and shell stamping of movement (pi. 180), fingertip punctuation and grooving, the dominant impression gained from
4: Constricted Bowl, Direct Rim, Flattened Lip	
5: Constricted Bowl, Direct Rim, Rounded Lip	excision and broad line incision the figures is a sloshing rocker stamping and incision, back and forwards across the strip, incision and punctuation, rather than of any favoured
6: Open Bowl, Interiorly Thickened Rim	incision or finger pressed rib direction of propagation.
7: Open Bowl, Direct Rim	

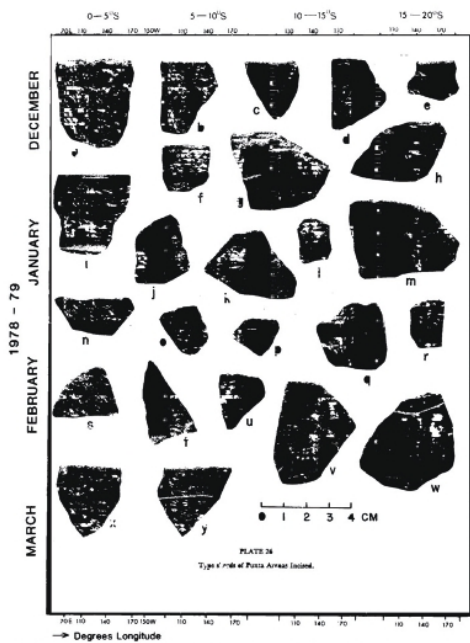


Fig. 7. Time-longitude representation of Geostationary Meteorological Satellite (GMS) infrared imagery for the latitude intervals of 0-5, 5-10, 10-15 and 15-20°S for the Southern Hemisphere summer of 1978-79.

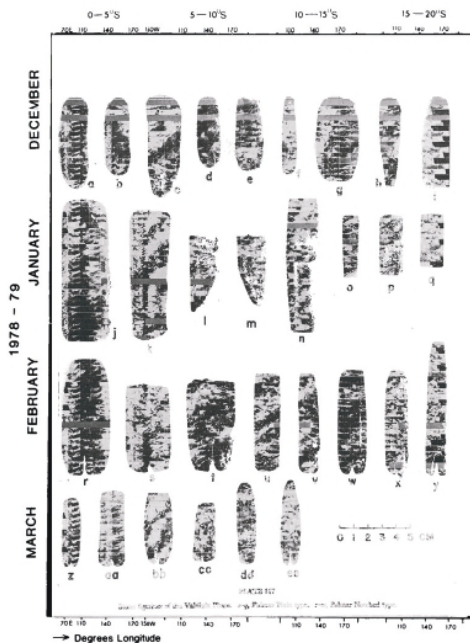


Fig. 8. Time-longitude representation of Geostationary Meteorological Satellite (GMS) infrared imagery for the latitude intervals of 0-5, 5-10, 10-15 and 15-20°S for the Southern Hemisphere summer of 1978-79.

change

me don me are re zu
ild so k tis me n t, s
rest d jitu ill
vei p sul y, ide
ger de pe er sol
for are

be a co vide ite ju
vide nd ad l sp
LOW ad re
re }n t

vere r
below

al s
re os in p
nd
amr ce
ern /

cc ue. /nw
c ies /nw

id e ar se
re a e lo de
he
ro. ou
nc

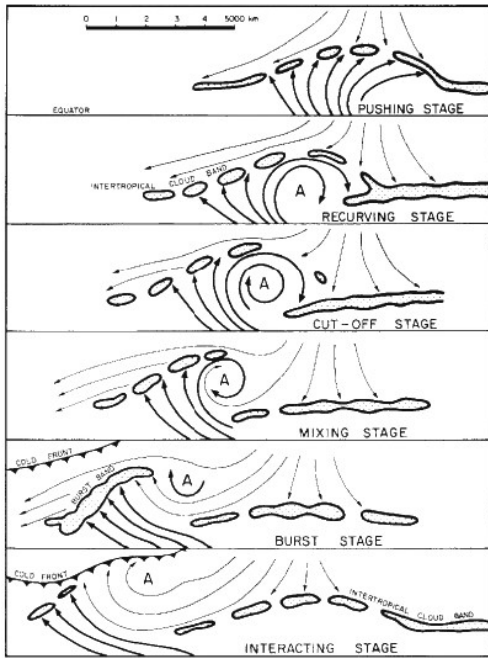
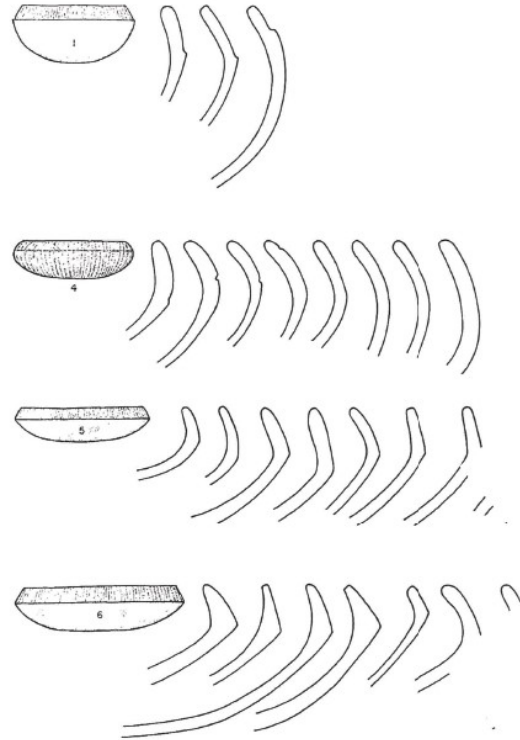
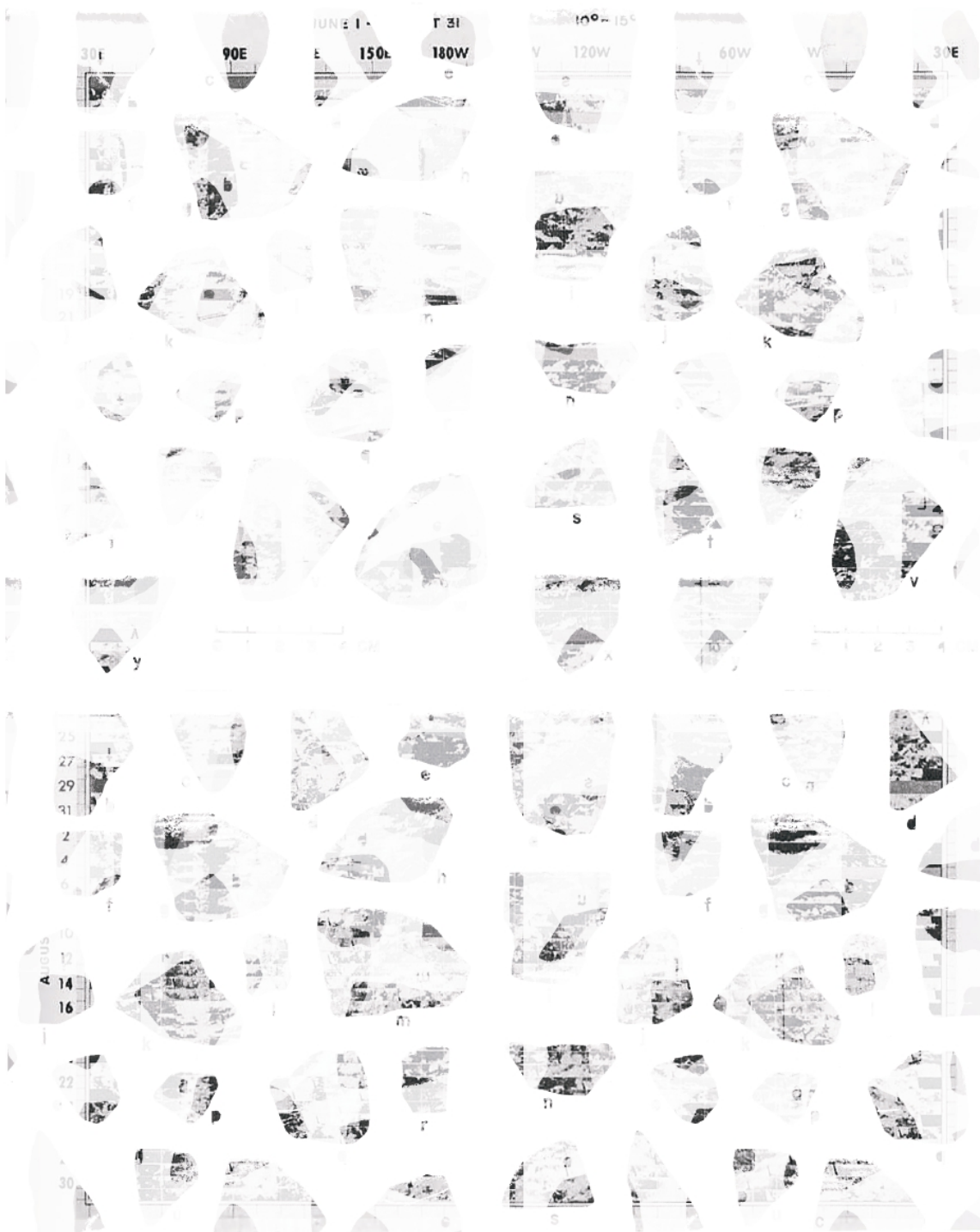


Fig. 13. A proposed model of an equatorial anticyclone in six stages. An example cur corresponding to each stage is shown in Fig. 19.







Disponible en:

[/articulo.oa?id=27150262715026009](#)

Cómo citar el artículo

Número completo

Más información del artículo

Página de la revista en [redalyc.org](#)

Sistema de Información Científica Redalyc
Red de Revistas Científicas de América Latina y el Caribe,
España y Portugal
Modelo de publicación sin fines de lucro para conservar la
naturaleza académica y abierta de la comunicación científica

Maxwell Stolkin

**Hacer hervir el agua en el valle de Valdivia: Formas de
vasijas y el brillo de las nubes en período formativo
temprano en la costa de Ecuador**

post(s)

vol. 3, p. 148 - 162, 2017

Universidad San Francisco de Quito, Ecuador

posts@usfq.edu.ec

ISSN: 1390-9797 / **ISSN-E:** 2631-2670

DOI: <https://doi.org/10.18272/posts.v3i1.1003>



CC BY-NC-SA 4.0 LEGAL CODE

**Licencia Creative Commons Atribución-NoComercial-
CompartirIgual 4.0 Internacional.**